

В. Д. Дяченко, А. Н. Чернега^а

НОВЫЙ ПОДХОД К СИНТЕЗУ ЗАМЕЩЕННЫХ 5-АРИЛКАРБАМОИЛ-6-МЕТИЛ-3-ЦИАНОПИРИДИН-2(1Н)-ТИОНОВ. МОЛЕКУЛЯРНАЯ И КРИСТАЛЛИЧЕСКАЯ СТРУКТУРА 2-АЛЛИЛТИО-6-МЕТИЛ-4-(5-МЕТИЛ-2-ФУРИЛ)-5-(2-МЕТОКСИФЕНИЛКАРБАМОИЛ)-3-ЦИАНО-1,4-ДИГИДРОПИРИДИНА

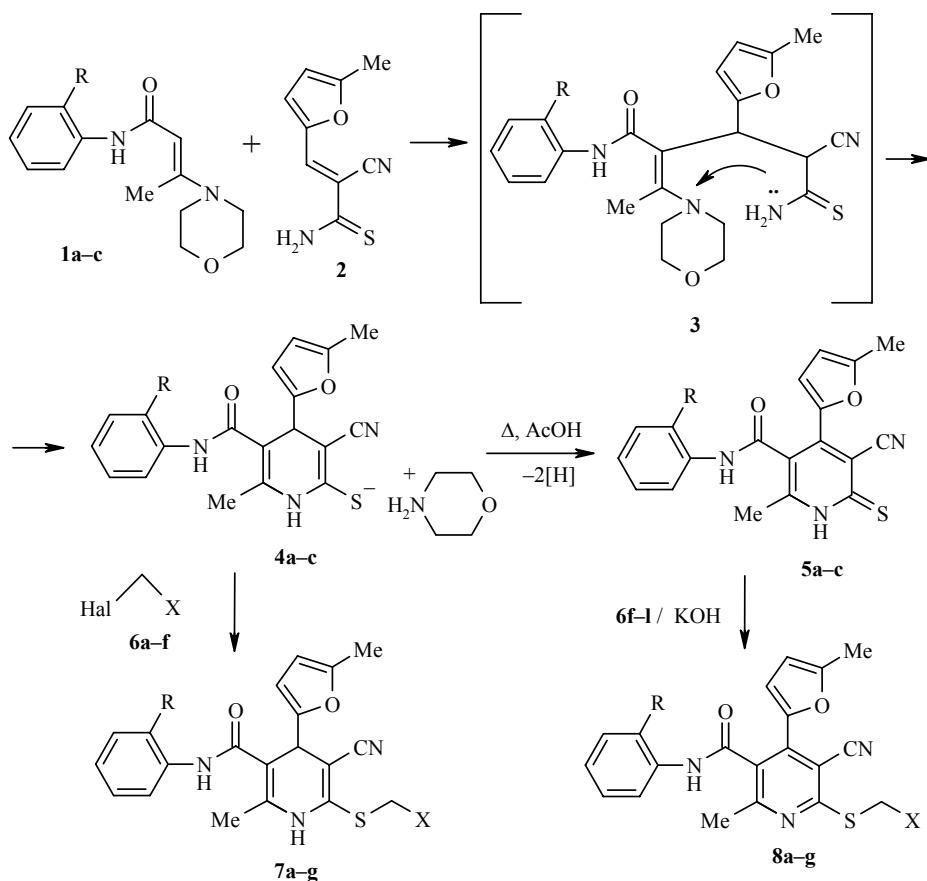
Взаимодействием енаминов ацетоацетанилидов с 5-метил-2-фурфурилиденцианотиоацетамидом получены 5-арилкарбамоил-6-метил-4-(5-метил-2-фурил)-3-циано-1,4-дигидропиридин-2-тиолаты морфолиния, при алкилировании которых синтезированы тиоэферы, а при окислении – соответствующие замещенные пиридин-2(1Н)-тионы. Строение 2-аллилтио-6-метил-4-(5-метил-2-фурил)-5-(2-метоксифенилкарбамоил)-3-циано-1,4-дигидропиридина изучено методом РСА.

Ключевые слова: 5-арилкарбамоил-6-метил-4-(5-метил-2-фурил)-3-циано-1,4-дигидропиридин-2-тиолаты морфолиния, енамины ацетоацетанилидов, 5-метил-2-фурфурилиденцианотиоацетамид, пиридин-2(1Н)-тионы, тиоэферы, алкилирование, РСА.

Ранее нами разработаны методы синтеза 4-арил(гетерил)замещенных 5-арилкарбамоил-6-метил-3-цианопиридин-2(1Н)-тионов, состоящие во взаимодействии арил(гетерил)метиленицианотиоацетамидов с анилидами ацетоуксусной кислоты [1, 2] или трехкомпонентной конденсации ароматических альдегидов, цианотиоацетамида и ацетоацетанилидов [3].

В настоящем исследовании найден новый подход к функционально замещенным 2-меркапто-1,4-дигидропиридинам – потенциальным антирадикальным [4], кардиоваскулярным [5] и гепатопротекторным [6] средствам. Он заключается в региоселективной реакции енаминов ацетоацетанилидов **1** с 5-метил-2-фурфурилиденцианотиоацетамидом **2**, приводящей к соответствующим аддуктам Михаэля **3**. Последние *in situ* гетероциклизуются по типу внутримолекулярного переаминирования [7] с образованием 5-арилкарбамоил-6-метил-4-(5-метил-2-фурил)-3-циано-1,4-дигидропиридин-2-тиолатов морфолиния **4**, кратковременное кипячение которых в ледяной уксусной кислоте на воздухе приводит к протонированию и дегидрированию до соответствующих замещенных пиридин-2(1Н)-тионов **5**.

Строение соединений **4** и **5** подтверждено данными физико-химических и спектральных исследований (табл. 1, 2, экспериментальная часть), а также путем алкилирования их алкилгалогенидами **6**. Образование в ходе этой реакции тиоэфиров **7** и **8** является надежным доказательством строения солей **4** и тионов **5** [8].



1a, 4a, 5a, 7e,f R = H; **1c, 4c, 5c, 7a-d, 8a,f** R = OMe; **1b, 4b, 5b, 7g, 8g** R = Me;
6a, 7a X = CH=CH₂; **6b, 7b** X = Et; **6c, 8a** X = PhCO; **6d, 8c** X = (CH₂)₃Br;
6e, 8d X = (CH₂)₂Br; **6f, 8e** X = CH₂Br; **6g, 8g** X = кумарин-3-ил-карбонил; **6h, 7c,f** X = H;
6i, 7d X = Me; **6j, 7e, 8f** X = Ph; **6k, 7g** X = CO₂Et; **6l, 8b** X = CO₂Bn;
6 a-g Hal = Br; **h,i** Hal = I; **j,l** Hal = Cl

Для однозначного установления региоселективности реакции енаминов ацетоуксусной кислоты с 5-метил-2-фурфурилиденцианотиоацетамидом и выяснения направления алкилирования ее продуктов строение соединения **7a** было исследовано методом РСА. Общий вид молекулы **7a** приведен на рис. 1. Центральный шестичленный цикл N₍₁₎C₍₁₋₅₎ заметно неплоский (отклонения атомов от среднеквадратичной плоскости достигают 0.23 Å) и имеет конформацию *полукресла* (модифицированные параметры Кремера–Попла [9] $S = 0.48$, $\theta = 69.5^\circ$, $\Psi = 1.5^\circ$). Атомы N₍₁₎ и N₍₃₎ имеют плоскотригональную конфигурацию связей (сумма валентных углов составляет 358.9 и 358.1°). Эффективное сопряжение между неподеленной электронной парой атома N₍₁₎ и π-системами двойных связей C₍₁₎=C₍₂₎ и C₍₄₎=C₍₅₎ приводит к заметному укорочению связей N₍₁₎–C₍₁₎ 1.365(4) и N₍₁₎–C₍₅₎ 1.387(3) Å (стандартное значение для чисто одинарных связей N(sp²)–C(sp²) 1.45 Å [10]). Аналогичным образом *n*(N₍₃₎)–π(C₍₁₆₎=O₍₂₎) взаимодействие вызывает укорочение связи N₍₃₎–C₍₁₆₎ до 1.354(3) Å. Длины связей S₍₁₎–C₍₁₎ 1.749(3) и S₍₁₎–C₍₁₃₎ 1.816(4) Å

Т а б л и ц а 1

Характеристики синтезированных соединений 4а–с, 5а–с, 7а–г, 8а–г

Соединение	Брутто-формула	Найдено, % Вычислено, %			Т. пл., °С	Выход, %
		С	Н	N		
4a	C ₂₃ H ₂₆ N ₄ O ₃ S	<u>62.80</u>	<u>5.79</u>	<u>12.81</u>	139–141	83
		62.99	5.98	12.76		
4b	C ₂₄ H ₂₈ N ₄ O ₃ S	<u>63.50</u>	<u>6.31</u>	<u>12.25</u>	291–293	88
		63.69	6.24	12.38		
4c	C ₂₄ H ₂₈ N ₄ O ₄ S	<u>61.40</u>	<u>5.87</u>	<u>12.14</u>	140–143	72
		61.52	6.02	11.96		
5a	C ₁₉ H ₁₅ N ₃ O ₂ S	<u>65.20</u>	<u>4.41</u>	<u>11.85</u>	298–300*	70
		65.31	4.33	12.03		
5b	C ₂₀ H ₁₇ N ₃ O ₂ S	<u>65.92</u>	<u>4.80</u>	<u>11.43</u>	288–290	65
		66.10	4.71	11.56		
5c	C ₂₀ H ₁₇ N ₃ O ₃ S	<u>63.14</u>	<u>4.63</u>	<u>10.88</u>	262–264	68
		63.31	4.52	11.07		
7a	C ₂₃ H ₂₃ N ₃ O ₃ S	<u>65.50</u>	<u>5.33</u>	<u>10.12</u>	118–120	85
		65.54	5.50	9.97		
7b	C ₂₃ H ₂₅ N ₃ O ₃ S	<u>65.10</u>	<u>6.12</u>	<u>9.74</u>	136–138	72
		65.23	5.95	9.92		
7c	C ₂₁ H ₂₁ N ₃ O ₃ S	<u>63.81</u>	<u>5.39</u>	<u>10.50</u>	142–143	67
		63.78	5.35	10.62		
7d	C ₂₂ H ₂₃ N ₃ O ₃ S	<u>64.30</u>	<u>5.71</u>	<u>10.02</u>	147–148	79
		64.54	5.66	10.26		
7e	C ₂₆ H ₂₃ N ₃ O ₂ S	<u>70.58</u>	<u>5.18</u>	<u>9.64</u>	164–166	78
		70.72	5.25	9.52		
7f	C ₂₀ H ₁₉ N ₃ O ₂ S	<u>65.69</u>	<u>5.33</u>	<u>11.38</u>	156–158	80
		65.73	5.24	11.50		
7g	C ₂₄ H ₂₅ N ₃ O ₄ S	<u>63.95</u>	<u>5.44</u>	<u>9.19</u>	161–163	71
		63.84	5.58	9.31		
8a	C ₂₈ H ₂₃ N ₃ O ₄ S	<u>67.40</u>	<u>4.37</u>	<u>8.52</u>	160–161	85
		67.59	4.66	8.44		
8b	C ₂₉ H ₂₅ N ₃ O ₅ S	<u>65.89</u>	<u>4.60</u>	<u>8.12</u>	116–117	67
		66.02	4.78	7.96		
8c	C ₂₄ H ₂₄ BrN ₃ O ₃ S	<u>55.81</u>	<u>4.64</u>	<u>8.25</u>	222–224	79
		56.03	4.70	8.17		
8d	C ₂₃ H ₂₂ BrN ₃ O ₃ S	<u>55.32</u>	<u>4.30</u>	<u>8.25</u>	206–208	62
		55.21	4.43	8.40		
8e	C ₂₂ H ₂₀ BrN ₃ O ₃ S	<u>54.42</u>	<u>3.89</u>	<u>8.50</u>	273–275	64
		54.33	4.14	8.64		
8f	C ₂₇ H ₂₃ N ₃ O ₃ S	<u>68.87</u>	<u>5.11</u>	<u>9.04</u>	174–175	75
		69.06	4.94	8.95		
8g	C ₃₁ H ₂₃ N ₃ O ₅ S	<u>67.49</u>	<u>4.12</u>	<u>7.73</u>	247–248	72
		67.75	4.22	7.65		

* При 200 °С происходит сублимация.

и валентный угол C₍₁₎S₍₁₎C₍₁₃₎ 104.4(1)° практически совпадают с соответствующими значениями, найденными в молекуле Ph–S–Me (S–C(sp²) 1.749(4), S–C(sp³) 1.803(4) Å, CSC 105.6(7)°) [11]. В кристалле молекулы

Спектральные характеристики соединений 4а–с, 5а–с, 7а–г, 8а–г

Соединение	ИК спектр, ν , cm^{-1} CN, CONH	Спектр ЯМР ^1H , δ , м. д. (J , Гц)		
		$\text{C}_{(6)}\text{CH}_3$, $\text{C}_{(5)}\text{CH}_3$, оба с	CONH, уш. с	другие сигналы
4а*	2188, 1674	2.04, 2.16	9.72	2.98 (4H, т, $J = 4.4$, CH_2NCH_2), 3.97 (4H, т, $J = 4.6$, CH_2OCH_2), 4.61 (1H, с, $\text{H}_{(4)}$), 5.81 (2H, м, $\text{H}_{(3)}$ и $\text{H}_{(4)}$ фурил), 6.98–7.70 (5H, м, C_6H_5), 9.15 (1H, уш. с, NH)
4б*	2195, 1670	2.03, 2.20	9.32	1.62 (3H, с, CH_3), 3.05 (4H, т, $J = 4.4$, CH_2NCH_2), 3.92 (4H, т, $J = 4.7$, CH_2OCH_2), 4.57 (1H, с, $\text{H}_{(4)}$), 5.92 (2H, м, $\text{H}_{(3)}$ и $\text{H}_{(4)}$ фурил), 6.98–7.39 (4H, м, C_6H_4), 8.51 (1H, уш. с, NH)
4с*	2190, 1678	2.16, 2.23	9.67	3.06 (4H, т, $J = 4.4$, CH_2NCH_2), 3.76 (4H, т, $J = 4.6$, CH_2OCH_2), 3.81 (3H, с, CH_3O), 4.25 (1H, с, $\text{H}_{(4)}$), 5.93 (2H, м, $\text{H}_{(3)}$ и $\text{H}_{(4)}$ фурил), 6.72–7.25 (4H, м, C_6H_4), 8.01 (1H, уш. с, NH)
5а	2224, 1669	2.10, 2.41	10.40	6.40 (1H, д, $J = 3.4$, $\text{H}_{(4)}$ фурил), 7.15–7.57 (6H, м, C_6H_5 и $\text{H}_{(3)}$ фурил), 14.11 (1H, уш. с, NH)
5б	2220, 1660	2.12, 2.23	9.71	2.47 (3H, с, CH_3), 6.44 (1H, д, $J = 3.4$, $\text{H}_{(3)}$ фурил), 7.15–7.58 (5H, м, C_6H_4 и $\text{H}_{(4)}$ фурил), 13.95 (1H, уш. с, NH)
5с	2225, 1667	2.16, 2.47	9.46	3.78 (3H, с, CH_3O), 6.27 (1H, д, $J = 3.4$, $\text{H}_{(3)}$ фурил), 6.95 (3H, м, C_6H_4), 7.34 (1H, д, $J = 3.42$, $\text{H}_{(4)}$ фурил), 8.03 (1H, д, $J = 7.5$, C_6H_4), 13.85 (1H, уш. с, NH)
7а	2194, 1682	2.22, 2.29	9.23	3.39 и 3.46 (по 1H, оба д, $J = 5.94$, SCH_2), 3.77 (3H, с, CH_3O), 4.50 (1H, с, $\text{C}_{(4)}\text{H}$), 5.04 и 5.10 (по 1H, оба д, $J_{cis} = 5.24$ и $J_{trans} = 12.30$, соответственно, $=\text{CH}_2$), 5.78 (1H, м, $\text{CH}=\text{C}$), 5.92 (1H, д, $J = 2.94$, $\text{H}_{(3)}$ фурил), 6.07 (1H, д, $J = 2.94$, $\text{H}_{(4)}$ фурил), 6.89 (3H, м, C_6H_4), 8.12 (1H, с, NH), 8.16 (1H, д, $J = 7.98$, C_6H_4)
7б	2204, 1670	2.22, 2.28	9.29	1.04 (3H, т, $J = 7.14$, CH_3), 1.65 (2H, м, CH_2), 2.79 (2H, м, SCH_2), 3.80 (3H, с, CH_3O), 4.54 (1H, с, $\text{C}_{(4)}\text{H}$), 5.97 (1H, д, $J = 3.40$, $\text{H}_{(3)}$ фурил), 6.10 (1H, д, $J = 3.40$, $\text{H}_{(4)}$ фурил), 6.90 (3H, м, C_6H_4), 8.09 (1H, д, $J = 7.78$, C_6H_4), 8.27 (1H, с, NH)
7с	2202, 1666	2.22, 2.29	9.20	2.50 (3H, с, SCH_3), 3.79 (3H, с, CH_3O), 4.45 (1H, с, $\text{C}_{(4)}\text{H}$), 5.93 (1H, д, $J = 3.04$, $\text{H}_{(3)}$ фурил), 6.07 (1H, д, $J = 3.04$, $\text{H}_{(4)}$ фурил), 6.86 (3H, м, C_6H_4), 8.12 (1H, д, $J = 9.20$, C_6H_4), 8.16 (1H, с, NH)
7д	2193, 1662	2.22, 2.29	9.25	1.28 (3H, т, $J = 7.02$, CH_3), 2.80 и 3.10 (по 1H, оба м, SCH_2), 3.79 (3H, с, CH_3O), 4.58 (1H, с, $\text{C}_{(4)}\text{H}$), 5.95 (1H, д, $J = 2.54$, $\text{H}_{(3)}$ фурил), 6.09 (1H, д, $J = 2.54$, $\text{H}_{(4)}$ фурил), 6.87 (3H, м, C_6H_4), 8.11 (1H, д, $J = 9.72$, C_6H_4), 8.16 (1H, с, NH)

7e	2198, 1670	2.09, 2.16	9.60	4.15 и 4.39 (по 1H, оба д, $^2J = 14.1$, SCH ₂), 4.76 (1H, с, C ₍₄₎ H), 5.88 (2H, м, H ₍₃₎ и H ₍₄₎ фурил), 7.00–7.57 (10H, м, 2C ₆ H ₅), 9.21 (1H, уш. с, NH)
7f	2194, 1665	2.08, 2.18	9.63	2.50 (3H, с, SCH ₃), 4.80 (1H, с, C ₍₄₎ H), 5.96 (2H, м, H ₍₃₎ и H ₍₄₎ фурил), 7.07 (1H, м, C ₆ H ₅), 7.26 (2H, м, C ₆ H ₅), 7.58 (2H, д, $J = 7.03$, C ₆ H ₅), 9.07 (1H, уш. с, NH)
7g	2198, 1674	2.09, 2.15	9.11	1.23 (3H, т, $J = 6.18$, CH ₂ CH ₃), 2.25 (3H, с, CH ₃), 3.79 и 3.95 (по 1H, оба д, $^2J = 16.12$, SCH ₂), 4.14 (2H, к, $J = 6.18$, OCH ₂), 4.85 (1H, с, C ₍₄₎ H), 5.92 (1H, д, $J = 2.50$, H ₍₃₎ фурил), 6.01 (1H, д, $J = 2.50$, H ₍₄₎ фурил), 7.00–7.29 (4H, м, C ₆ H ₄), 8.92 (1H, с, NH)
8a	2202, 1661	2.23, 2.27	9.64	3.75 (3H, с, CH ₃ O), 4.79 (2H, с, CH ₂), 6.25 (1H, д, $J = 3.42$, H ₍₃₎ фурил), 6.93 (2H, м, C ₆ H ₅), 7.05 (1H, д, $J = 3.42$, H ₍₄₎ фурил), 7.13 (1H, д, $J = 3.30$, H _{аром}), 7.57 (3H, м, H _{аром}), 7.97 (1H, д, $J = 6.38$, H _{аром}), 8.07 (2H, д, $J = 6.94$, H _{аром})
8b	2190, 1648	2.24, 2.42	9.48	3.79 (3H, с, CH ₃ O), 4.12 (2H, с, SCH ₂), 5.17 (2H, с, OCH ₂), 6.27 (1H, д, $J = 3.08$, H ₍₃₎ фурил), 6.84–7.05 (3H, м, C ₆ H ₄), 7.12 (1H, д, $J = 3.08$, H ₍₄₎ фурил), 7.35 (5H, уш. с, C ₆ H ₅), 8.04 (1H, д, $J = 7.76$, C ₆ H ₄)
8c	2198, 1657	2.21, 2.59	9.50	1.93 (2H, м, CH ₂), 2.44 (2H, м, CH ₂), 3.05 (2H, м, SCH ₂), 3.35 (2H, м, CH ₂ Br), 3.77 (3H, с, CH ₃ O), 6.21 (1H, д, $J = 3.40$, H ₍₃₎ фурил), 6.88–7.13 (4H, м, H ₍₄₎ фурил и C ₆ H ₄), 8.02 (1H, д, $J = 7.76$, C ₆ H ₄)
8d	2190, 1664	2.23, 2.60	9.57	2.44 (2H, м, CH ₂), 3.07 (2H, м, SCH ₂), 3.41 (2H, м, CH ₂ Br), 3.78 (3H, с, CH ₃ O), 6.24 (1H, д, $J = 2.72$, H ₍₃₎ фурил), 6.89–7.15 (4H, м, H ₍₄₎ фурил и C ₆ H ₄), 8.03 (1H, д, $J = 7.20$, C ₆ H ₄)
8e	2202, 1675	2.23, 2.61	9.46	2.47 (2H, м, SCH ₂), 3.68 (2H, м, CH ₂ Br), 3.79 (3H, с, CH ₃ O), 6.23 (1H, д, $J = 3.52$, H ₍₃₎ фурил), 6.82–7.21 (4H, м, H ₍₄₎ фурил и C ₆ H ₄), 8.07 (1H, д, $J = 6.30$, C ₆ H ₄)
8f	2204, 1673	2.22, 2.63	9.43	3.79 (3H, с, CH ₃ O), 4.52 (2H, с, CH ₂), 6.21 (1H, д, $J = 3.42$, H ₍₃₎ фурил), 6.88–7.47 (9H, м, H _{аром}), 8.06 (1H, д, $J = 7.82$, C ₆ H ₄)
8g	2188, 1680	2.14, 2.31	9.71	2.99 (3H, с, CH ₃), 4.81 (2H, с, CH ₂), 6.33 (1H, д, $J = 3.48$, H ₍₃₎ фурил), 7.02–7.99 (9H, м, H _{аром}), 8.74 (1H, с, H ₍₄₎ кумаринил)

* Протоны фрагмента N⁺H₂ морфолинииевого катиона не наблюдаются, по-видимому, вследствие дейтерообмена.

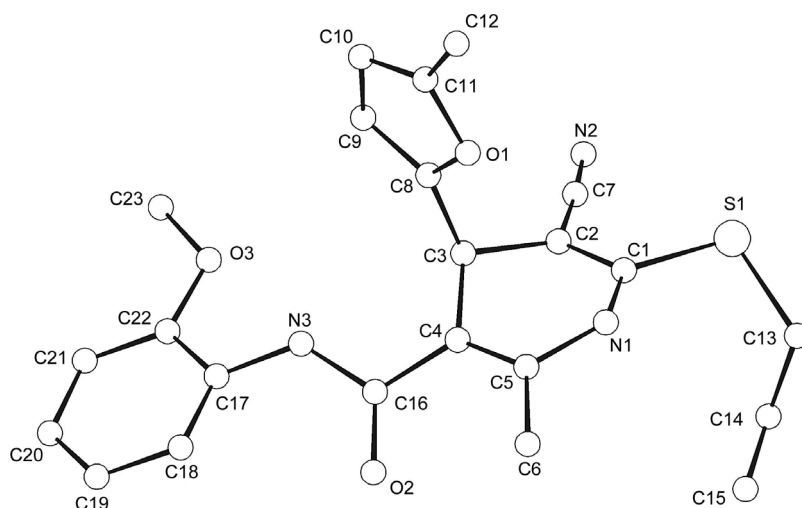


Рис. 1. Общий вид молекулы **7a**. Основные длины связей (l , Å) и валентные углы (ω , град.):
 $S_{(1)}-C_{(1)}$ 1.749(3), $S_{(1)}-C_{(13)}$ 1.816(4), $N_{(1)}-C_{(1)}$ 1.365(4), $N_{(1)}-C_{(5)}$ 1.387(3), $N_{(2)}-C_{(7)}$ 1.137(4),
 $N_{(3)}-C_{(16)}$ 1.354(3), $N_{(3)}-C_{(17)}$ 1.411(4), $C_{(1)}-C_{(2)}$ 1.347(4), $C_{(2)}-C_{(3)}$ 1.520(3), $C_{(3)}-C_{(4)}$ 1.525(3),
 $C_{(4)}-C_{(5)}$ 1.353(4), $C_{(4)}-C_{(16)}$ 1.489(3); $C_{(1)}S_{(1)}C_{(13)}$ 104.4(1), $C_{(1)}N_{(1)}C_{(5)}$ 120.5(2), $C_{(16)}N_{(3)}C_{(17)}$
 126.3(3), $N_{(1)}C_{(1)}C_{(2)}$ 120.0(2), $C_{(1)}C_{(2)}C_{(3)}$ 120.4(2), $C_{(2)}C_{(3)}C_{(4)}$ 107.26(19), $C_{(3)}C_{(4)}C_{(5)}$ 120.2(2),
 $N_{(1)}C_{(5)}C_{(4)}$ 119.5(2)

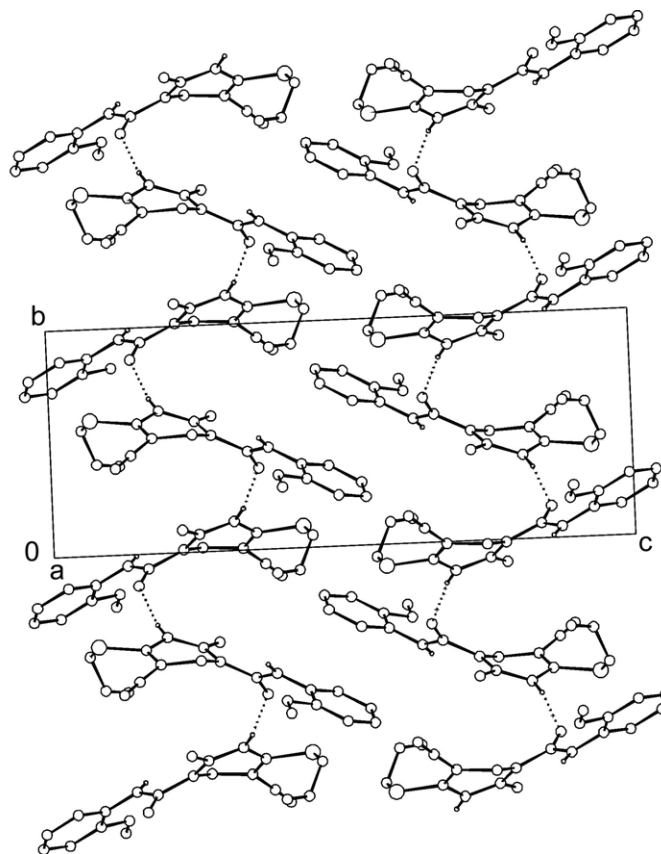


Рис. 2. Кристаллическая упаковка соединения **7a** (пунктирными линиями обозначены межмолекулярные водородные связи). Для упрощения заместитель $C_4H_2O-CH_3$ при атоме $C_{(3)}$ не показан

соединения **7a** за счет межмолекулярных водородных связей $N_{(1)}-H_{(1)}\cdots O_{(2)}$ ($N_{(1)}-H_{(1)}$ 0.91(3), $N_{(1)}\cdots O_{(2)}$ 2.911(3), $H_{(1)}\cdots O_{(2)}$ 2.02(3) Å, $N_{(1)}-H_{(1)}\cdots O_{(2)}$ (2)[°] средней прочности [12] объединены в бесконечные спиралевидные цепочки (рис. 2).

ЭКСПЕРИМЕНТАЛЬНАЯ ЧАСТЬ

ИК спектры синтезированных соединений записывали на приборе ИКС-29 в вазелиновом масле. Спектры ЯМР ¹H регистрировали на приборах Gemini-200 (200 МГц) (для соединений **7a-d**, **8a-f**), Bruker AC-200 (200 МГц) (для соединений **7f,g**, **8g**) и Bruker WP-100 SY (100 МГц) (для соединений **4a-c**, **5a-c**, **7e**) в ДМСO-d₆, внутренний стандарт Me₄Si. Масс-спектры снимали на спектрометре Kratos MS-890 (70 эВ). Температуры плавления определяли на блоке Кофлера. Контроль за ходом реакции и чистотой полученных соединений осуществляли методом ТСХ (Silufol UV-254, ацетон-гексан, 3:5, проявитель пары воды).

Рентгеноструктурное исследование монокристалла соединения 7a с линейными размерами 0.37 × 0.43 × 0.47 мм проведено при комнатной температуре на автоматическом четырехкружном дифрактометре Enraf-Nonius CAD-4 (MoKα-излучение, отношение скоростей сканирования 2θ/ω = 1.2, θ_{max} = 27°, сегмент сферы 0 ≤ h ≤ 17, 0 ≤ k ≤ 10, -27 ≤ l ≤ 27). Всего было собрано 5935 отражений, из которых 5322 являются симметрически независимыми ($R_{int} = 0.012$). Кристаллы соединения **7a** моноклинные, $a = 13.535(4)$, $b = 8.367(2)$, $c = 21.847(8)$ Å, β = 99.08(2)°, $V = 2443(1)$ Å³, $M = 421.51$, $Z = 4$, $d_{выч} = 1.15$ г/см³, $\mu = 1.50$ см⁻¹, $F(000) = 888.62$, пространственная группа $P2_1/n$. Структура расшифрована прямым методом и уточнена МНК в полноматричном анизотропном приближении с использованием комплекса программ CRYSTALS [13]. В уточнении использовано 2565 отражений с $I > 4(I)$ (279 уточняемых параметров, число отражений на параметр 9.2). Все атомы водорода (кроме атомов H при атомах C₍₁₄₎ и C₍₁₅₎) были выявлены из разностного синтеза электронной плотности. Атомы H₍₁₎ и H₍₃₎ были уточнены изотропно, остальные атомы водорода были включены в уточнение с фиксированными позиционными и тепловыми параметрами. Учет поглощения в кристалле был выполнен с помощью метода азимутального сканирования [14]. При уточнении использована весовая схема Чебышева [15] с тремя параметрами: 2.21, 2.19 и 1.59. Окончательные значения факторов расходимости $R = 0.069$ и $R_w = 0.068$, GOF = 1.125. Остаточная электронная плотность из разностного ряда Фурье 1.15 и -0.36 е/Å³. Координаты неводородных атомов могут быть получены у авторов.

5-Арилкарбамоил-6-метил-4-(5-метил-2-фурил)-3-циано-1,4-дигидропиридин-2-тиолаты морфолина 4a-c. Смесь 10 ммоль енамина ацетоацетанилида **1** и 1.92 г (10 ммоль) 5-метил-2-фулфуриленцианотиоацетамида **2** в 15 мл этанола перемешивают 20 мин и оставляют. Через 1 сут образовавшийся осадок отфильтровывают, промывают этанолом и гексаном. Получают соли **4a-c** (табл. 1, 2).

5-Арилкарбамоил-6-метил-4-(5-метил-2-фурил)-3-циано-1,4-дигидропиридин-2(1H)-тионы 5a-c получают при перекристаллизации соответствующих солей **4a-c** из ледяной уксусной кислоты (табл. 1, 2). Масс-спектр соединения **5c**, m/z ($I_{отн}$, %): 379 [M]⁺ (48), 271 (10), 257 (100), 229 (11), 123 (44), 92 (10), 77 (9), 65 (11), 43 (14).

5-Арилкарбамоил-6-метил-4-(5-метил-2-фурил)-3-циано-2-Х-метилтио-1,4-дигидропиридины 7a-g. Смесь 10 ммоль соответствующих соли **4** и 10 ммоль алкилгалогенида **6** в 8 мл ДМФА перемешивают 4 ч, разбавляют 10 мл воды и оставляют на 1 сут. Образовавшийся осадок отфильтровывают, промывают водой, этанолом и гексаном. Получают соединения **7a-g**, которые перекристаллизовывают из этанола (табл. 1, 2).

Масс-спектры соединений **7a-d**, m/z ($I_{отн}$, %). **7a**: 421 [M]⁺ (10), 380 (42), 299 (38), 271 (35), 257 (100), 135 (14), 123 (58), 108 (19), 77 (13), 41 (27). **7b**: 423 [M]⁺ (22), 380 (46), 338 (82), 299 (38), 273 (66), 259 (84), 123 (100), 108 (30), 77 (14), 65 (19), 43 (58). **7c**: 395 [M]⁺ (22), 393 [M-2]⁺ (13), 380 (16), 338 (28), 273 (44), 271 (100), 245 (22), 123 (43), 77 (11), 65 (17). **7d**: 409 [M]⁺ (27), 380 (35), 366 (20), 338 (65), 287 (39), 259 (100), 257 (48), 123 (86), 108 (24), 92 (21), 77 (12), 65 (18), 43 (17).

5-Арилкарбамоил-6-метил-4-(5-метил-2-фурил)-3-циано-2-Z-метилтиопиридины 8a-g. К суспензии 10 ммоль соответствующего пиридинтиона **5** в 8 мл ДМФА при перемешивании прибавляют 5.6 мл (10 ммоль) 10% водного раствора КОН и 10 ммоль алкилгалогенида **6**, после чего перемешивают 4 ч. Затем реакционную смесь разбавляют 10 мл воды и оставляют на 1 сут. Образовавшийся осадок отделяют, промывают водой, этанолом и гексаном. Получают соединения **8**, которые перекристаллизовывают из ледяной уксусной кислоты (табл. 1, 2).

Масс-спектры соединений **8a-f**, m/z ($I_{\text{отн.}}$, %). **8a**: 497 $[M]^+$ (9), 392 (11), 376 (13), 375 (57), 105 (100), 77 (37). **8b**: 527 $[M]^+$ (18), 405 (88), 269 (13), 241 (14), 155 (12), 91 (100), 65 (12). **8c**: $[M]^+$ отсутствует, 434 $[M-Br]^+$ (100), 348 (12), 311 (69), 284 (72), 257 (41), 225 (18), 123 (38), 108 (14), 87 (16), 55 (17), 43 (39). **8d**: $[M]^+$ отсутствует, 420 $[M-Br]^+$ (80), 297 (100), 277 (76), 257 (40), 241 (10), 127 (69), 108 (20), 92 (19), 77 (11), 43 (35). **8e**: $[M]^+$ отсутствует, 406 $[M-Br]^+$ (95), 313 (27), 283 (64), 257 (32), 123 (100), 77 (14), 40 (38). **8f**: 469 $[M]^+$ (42), 468 $[M-1]^+$ (27), 347 (74), 91 (100), 65 (20).

СПИСОК ЛИТЕРАТУРЫ

1. В. Д. Дяченко, С. Г. Кривоколыско, В. П. Литвинов, *ХГС*, 560 (1997).
2. В. Д. Дяченко, С. Г. Кривоколыско, В. П. Литвинов, *ЖОрХ*, **34**, 927 (1998).
3. В. Д. Дяченко, С. Г. Кривоколыско, В. Н. Нестеров, В. П. Литвинов, *ХГС*, 1243 (1996).
4. Д. Тирзите, А. Краузе, А. Зубарева, Г. Тирзите, Г. Дубурс, *ХГС*, 902 (2002).
5. А. А. Краузе, Р. О. Витолина, М. Р. Романова, Г. Я. Дубурс, *Хим.-фарм. журн.*, **22**, 548 (1988).
6. А. А. Краузе, А. Г. Одынец, А. А. Веррева, С. К. Германе, А. Н. Кожухов, Г. Я. Дубурс, *Хим.-фарм. журн.*, **25**, 40 (1991).
7. *Общая органическая химия*, под ред. Д. Бартона, У. Д. Оллиса, Химия, Москва, 1982, **3**, с. 482.
8. V. P. Litvinov, L. A. Rodinovskaya, Yu. A. Sharanin, A. M. Shestopalov, A. Senning, *Sulfur Reports*, **13**, 1 (1992).
9. Н. С. Зефилов, В. А. Палюлин, *ДАН*, **252**, 111 (1980).
10. M. Burke-Laing, M. Laing, *Acta Crystallogr.*, **B32**, 3216 (1976).
11. S. Samdal, H. M. Seip, T. Torgrimsen, *J. Mol. Struct.*, **57**, 105 (1979).
12. L. N. Kuleshova, P. M. Zorkii, *Acta Crystallogr.*, **B37**, 1363 (1981).
13. D. J. Watkin, C. K. Prout, J. R. Carruthers, P. W. Betteridge, *CRYSTALS Issue 10, Chemical Crystallography Laboratory*, Univ. of Oxford, 1996.
14. A. C. T. North, D. C. Phillips, F. Scott, F. S. Mathews, *Acta Crystallogr.*, **A24**, 351 (1968).
15. J. R. Carruthers, D. J. Watkin, *Acta Crystallogr.*, **A35**, 698 (1979).

Луганский государственный педагогический
университет им. Тараса Шевченко,
Луганск 91011, Украина
e-mail: dvd lug@online.lg.ua

Поступило в редакцию 15.07.2003

^aИнститут органической химии НАН Украины,
Киев 02094